

新三唑类化合物的合成及抑菌活性研究*

周文明¹, 王昌钊¹, 李长杰², 赵 勇¹

(1 西北农林科技大学 生命科学学院, 陕西 杨凌 712100; 2 莱阳畜牧局, 山东 莱阳 265200)

[摘要] 以3,3-二甲基-1-(1,2,4-三唑-1-基)-2-丁酮为原料, 合成了6个新化合物, 化合物的结构均经¹H-NMR和IR予以确认。以小麦赤霉病菌(*Fusarium graminearum*)、苹果炭疽病菌(*Glorena cingulata*)、玉米大斑病菌(*Exserohilum turcicum*)及南瓜枯萎病菌(*Fusarium oxy sp orium*)为供试菌种, 在100 μg/mL质量浓度下, 对合成化合物进行了杀菌活性测定, 结果表明6种化合物均有不同程度的杀菌活性。

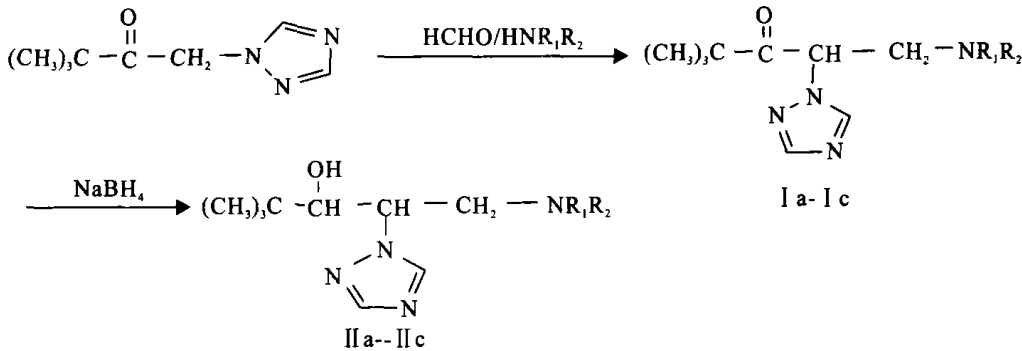
[关键词] 三唑类化合物; 合成; 杀菌活性

[中图分类号] O 626.26

[文献标识码] A

[文章编号] 1671-9387(2005)06-0147-04

三唑类化合物以其杀菌谱广、低毒、低抗性及化学结构多样性等特点, 在杀菌剂中占有非常重要的地位^[1,2]。3,3-二甲基-1-(1,2,4-三唑-1-基)-2-丁酮(α-唑代片呐酮)是合成三唑类杀菌剂的一个重要中间体, 其可以发生还原反应、肟化反应、环氧化反应、Wittig反应、烷基化反应^[3~5]、醇醛缩合反应^[6]及Michael加成反应^[7]等, 通过这些反应制备的衍生物



式中, a 为 R₁R₂= -CH₂CH₂OCH₂CH₂-; b 为 R₁R₂= -CH₂CH₂CH₂CH₂CH₂-; c 为 R₁= -CH₃, R₂= -C₆H₄OC₆H₄CH₂-。

以小麦赤霉病菌(*Fusarium graminearum*)、苹果炭疽病菌(*Glorena cingulata*)、玉米大斑病菌(*Exserohilum turcicum*)及南瓜枯萎病菌(*Fusarium oxy sp orium*)为供试菌种, 在100 μg/mL质量浓度下, 采用抑制菌丝生长速率法, 对合成化合物进行了杀菌活性筛选, 发现6种化合物均有不同程度的杀菌活性, 其中Ic和IIc对4种病原菌的抑制率均超

大多具有良好的杀菌活性, 并已有多个商品化品种, 如三唑酮、三唑醇、烯唑醇、苯氯三唑醇、双苯三唑醇、辛唑酮、戊唑醇等。本研究以3,3-二甲基-1-(1,2,4-三唑-1-基)-2-丁酮为原料, 通过Mannich反应合成了6个新化合物, 化合物的结构均经¹H-NMR和IR予以确认。目标化合物的合成路线如下:

过60%; 以Ic和IIc为供试试剂, 测定了其对以上4种病原菌的毒力曲线, 结果表明, IIc抑菌活性较好, EC₅₀均低于10 μg/mL。

1 材料与方法

1.1 仪器和试剂

WRS-1A数字熔点仪(温度计未校正), IR 435红外光谱仪, DPX 300 MHz核磁共振仪。所有试剂均为市售分析纯。

* [收稿日期] 2004-12-02

[基金项目] 西北农林科技大学青年基金项目(KD00-56)

[作者简介] 周文明(1966-), 男, 湖南桑植人, 副教授, 博士, 主要从事有机合成和天然产物化学研究。

1.2 供试菌种

供试菌种为小麦赤霉病菌(*Fusarium graminearum*)、玉米大斑病菌(*Exserohilum turcicum*)、苹果炭疽病菌(*Glorenella cingulata*)和南瓜枯萎病菌(*Fusarium oxysporum*)。

1.3 化学合成

1.3.1 3,3-二甲基-1-(1,2,4-三唑-1-基)-2-丁酮的制备^[8] 向250 mL圆底烧瓶中加入17.9 g(0.1 mol)3,3-二甲基-1-溴-2-丁酮,13.8 g(0.1 mol)无水碳酸钾及120 mL丙酮,搅拌下加入6.9 g(0.1 mol)1,2,4-三唑,加热回流10 h,冷至室温,过滤,固体用丙酮洗至无色,合并溶液,蒸去溶剂,残留物用四氯化碳重结晶,得14 g无色晶体,m.p. 62~63,收率为83.8%(文献[8],m.p. 63~65,收率76.7%)。

1.3.2 N-甲基-间-苯氧基苯甲胺的制备 将20 g(0.10 mol)间-苯氧基苯甲醛、30 mL(0.16 mol)质量分数25%的甲胺乙醇溶液及60 mL无水乙醇置于250 mL三口瓶中,加热回流5 h,冷却后,加入3.8 g(0.10 mol)硼氢化钠,再加热回流4 h,冷至室温,用质量分数10%盐酸酸化至pH约为2。减压蒸去溶剂,向残留液中加入100 mL水和50 mL三氯甲烷,搅拌1 h,抽滤,固体用质量分数10%氢氧化钠碱化,三氯甲烷萃取3次,每次50 mL。合并三氯甲烷,水洗3次,无水硫酸钠干燥,蒸去溶剂后,得无色油状物19 g,收率为90%。¹H NMR(δ , CDCl₃): 1.25(1H,s,-NH), 2.36(3H,s,-CH₃), 3.64(2H,s,-CH₂), 6.60~7.40(9H,m,A r-H)。

1.3.3 4,4-二甲基-1-(4-吗啉基)-2-(1,2,4-三唑-1-基)-3-戊酮的制备(I a) 向50 mL锥形瓶中加入1.67 g(0.01 mol)3,3-二甲基-1-(1,2,4-三唑-1-基)-2-丁酮和20 mL水,搅拌至全溶,加入1.0 g(0.01 mol)质量分数30%甲醛水溶液及0.87 g(0.01 mol)吗啉,室温搅拌8 h,用三氯甲烷萃取3次,每次20 mL,合并三氯甲烷,水洗3次,无水硫酸钠干燥,减压蒸去溶剂,残留物用质量分数95%乙醇重结晶,得2.1 g无色晶体,m.p. 63~64,收率为78.9%。同法制得化合物I b, I c, 收率分别为68.0%和52.6%。

1.3.4 4,4-二甲基-1-(1-哌啶基)-2-(1,2,4-三唑-1-基)-3-戊醇的制备(II b) 将0.8 g(0.003 mol)4,4-二甲基-1-(1-哌啶基)-2-(1,2,4-三唑-1-基)-3-戊酮置于50 mL三口瓶中,加入20 mL甲醇,搅拌下加入0.12 g(0.003 mol)硼氢化钠,室温搅拌30

min,再加热回流1 h,冷却后,减压蒸去溶剂,加入20 mL水,用质量分数10%盐酸调pH为1,然后用质量分数10%氢氧化钠调pH约为9,用三氯甲烷萃取3次,每次20 mL,合并三氯甲烷,水洗3次,无水硫酸钠干燥,减压蒸去溶剂,残留物用95%乙醇重结晶,得白色晶体0.77 g,m.p. 114~116,收率为96.4%。同法制得化合物II a, II c, 收率分别为94.5%和96.6%。

1.4 抑菌活性测定

采用生长速率法,即将供试药剂与未凝固的培养基混合均匀接上菌种,用带药培养基培养病菌。通过病菌培养速度快慢来判断药剂毒力的大小,以十字交叉法测出菌落直径。

$$\text{菌落直径}/\text{cm} = \text{菌落直径平均值} - 0.5(\text{菌饼直径})$$

$$\text{抑制率}\% = \frac{\text{对照菌落直径} - \text{处理菌落直径}}{\text{对照菌落直径}} \times 100\%$$

2 结果与讨论

2.1 目标物的结构鉴定

6个化合物的结构均通过¹H NMR, IR 和元素分析确认:

化合物I a: 无色晶体, m.p. 63~64。¹H NMR(δ , CDCl₃): 8.27(s, 1H, =CH), 7.89(s, 1H, =CH), 5.71(t, 1H, -CH-), 3.61(t, 4H, -CH₂-O-CH₂-), 2.82~3.05(m, 2H, -CH₂-), 2.41~2.56(m, 4H, -CH₂-N-CH₂-), 1.20(s, 9H, -C(CH₃)₃)。IR(cm^{-1} , KB r压片): 3390, 3100, 2950, 2750, 1695, 1505, 1275, 1100。元素分析(测定值/计算值)结果为: C 58.61/58.42, H 8.33/8.06, N 21.04/20.52。

化合物I b: m.p. 66~67。¹H NMR(δ , CDCl₃): 8.28(s, 1H, =CH), 7.88(s, 1H, =CH), 5.71(t, 1H, -CH), 2.75~3.03(m, 2H, -CH₂), 2.41~2.45(t, 4H, -CH₂-N-CH₂-), 1.30~1.66(m, 6H, -CH₂-CH₂-CH₂-), 1.20(s, 9H, -C(CH₃)₃)。IR(cm^{-1} , KB r压片): 3100, 2900, 2700, 1705, 1500, 1270。元素分析(测定值/计算值)结果为: C 63.59/63.43, H 9.16/8.78, N 21.20/21.17。

化合物I c: 无色晶体, m.p. 60~61。¹H NMR(δ , CDCl₃): 8.12(s, 1H, =CH), 7.84(s, 1H, =CH), 6.82~7.32(m, 9H, A r-H), 5.64(t, 1H, -CH-), 3.45(AB, 2H, A r-CH₂-), 2.93(d, 2H, -CH₂-), 2.22(s, 3H, -NCH₃), 1.15(s, 9H,

- C(CH₃)₃)。IR (cm⁻¹, KB r 压片): 3 100, 2 900, 2 800, 1 710, 1 580 及 1 500, 1 250, 1 140。元素分析(测定值/计算值)结果为: C 70 37/69 94, H 7.19/7.28, N 14.28/14.21。

化合物 II a: 无色晶体, m. p. 142~143 °C。¹H NMR (δ , CDCl₃): 8.19 (s, 1H, =CH), 7.94 (s, 1H, =CH), 4.63 (b, 1H, -OH), 3.94 (d, 1H, -CH), 3.60~3.63 (m, 5H, -CH₂-CH₂- 及 -CH-), 2.86~2.89 (d, 2H, -CH₂-), 2.30~2.54 (m, 4H, -CH₂-CH₂-), 0.74 (s, 9H, -C(CH₃)₃)。IR (cm⁻¹, KB r 压片): 3 205, 3 100, 2 940, 2 800, 1 500, 1 275, 1 100。元素分析(测定值/计算值)结果为: C 59.73/59.97, H 8.31/8.63, N 19.87/19.99。

化合物 II b: 无色晶体, m. p. 114~116 °C。¹H NMR (δ , CDCl₃): 8.25 (s, 1H, =CH), 7.93 (s, 1H, =CH), 4.40 (AB, 2H, -CH-CH-), 4.40 (b, 1H, -OH), 2.82 (d, 2H, -CH₂-), 2.26~2.44 (m, 4H, -CH₂-N-CH₂-), 1.36~1.53 (m, 6H,

-CH₂-CH₂-CH₂-), 0.74 (s, 9H, -C(CH₃)₃)。IR (cm⁻¹, KB r 压片): 3 200, 3 100, 2 900, 2 800, 1 500, 1 275, 1 100。元素分析(测定值/计算值)结果为: C 63.12/62.81, H 9.84/9.50, N 21.03/20.64。

化合物 II c: 无色晶体, m. p. 213~215 °C。¹H NMR (δ , CDCl₃): 8.28 (s, 1H, =CH), 7.86 (s, 1H, =CH); 6.80~7.48 (m, 9H, A r-H), 5.24 (s, 1H, -OH), 4.30 (AB, 2H, -CH-CH-), 3.16 (AB, 2H, A r-CH₂-); 2.72 (s, 2H, -CH₂-), 2.10 (s, 3H, -N-CH₃), 1.00 (s, 9H, -C(CH₃)₃)。IR (cm⁻¹, KB r 压片): 3 210, 3 100, 2 960, 2 805, 1 575, 1 500, 1 265。元素分析(测定值/计算值)结果为: C 68.67/69.08, H 7.61/7.91, N 14.23/14.65。

2.2 抑菌活性

2.2.1 6种新合成化合物的抑菌活性筛选 以等量丙酮为空白对照, 在 100 μg/mL 质量浓度下, 以小麦赤霉病菌、苹果炭疽病菌、玉米大斑病菌和南瓜枯萎病菌为供试菌种, 对 6 种新化合物进行抑菌活性筛选。结果见表 1。

表 1 6种化合物对 4 种植物病菌菌丝生长的抑制率

Table 1 Inhibition rates of six compounds to mycelium growth of four tested fungi

化合物 Compounds	南瓜枯萎 <i>Fusarium oxy sp orium</i>	苹果炭疽 <i>Gla merella cingulata</i>	玉米大斑 <i>Ex serohilum turcicum</i>	小麦赤霉 <i>Fusarium graminearum</i>	%
I a	35.8	89.5	40.3	44.3	
I b	11.1	83.1	37.4	44.3	
I c	63.4	92.7	98.8	82.9	
II a	35.8	37.1	78.5	67.9	
II b	16.8	0.9	62.6	73.4	
II c	83.2	65.3	82.2	85.9	

由表 1 可知, I c 和 II c 对 4 种植物病原菌的抑制率均较高。I a 和 I b 仅对苹果炭疽病菌的抑制率较高, 对其他 3 种病菌的抑制率均较低。因此, 选择 I c 和 II c 测定其对 4 种供试病原菌的毒力曲线。

2.2.2 I c, II c 对 4 种供试病原菌的毒力曲线测

定 以 I c 和 II c 为供试试剂, 以丙酮为空白对照, 设置 100, 50, 25, 12.5, 6.25 μg/mL 5 个质量浓度梯度, 对小麦赤霉病菌、玉米大斑病菌、苹果炭疽病菌和南瓜枯萎病菌进行抑菌活性的独立测定, 结果见表 2 和表 3。

表 2 I c 对 4 种供试植物病原菌的毒力测定

Table 2 Toxicity of I c on four tested fungi

供试病菌 Tested fungi	毒力曲线 Regression equation	相关系数 Relativity coefficient	EC ₅₀
南瓜枯萎 <i>Fusarium oxy sp orium</i>	2.4172x + 1.1657	0.9800	38.57
苹果炭疽 <i>Gla merella cingulata</i>	2.8326x + 2.2880	0.9429	9.07
小麦赤霉 <i>Fusarium gr aminearum</i>	5.0626x + 0.4559	0.9960	7.94
玉米大斑 <i>Ex serohilum turcicum</i>	1.2415x + 3.1950	0.9574	28.44

表3 IIc 对4种供试植物病原菌的毒力测定

Table 3 Toxicity of IIc on four tested fungi

供试病菌 Tested fungi	毒力曲线 Regression equation	相关系数 Relativity coefficient	EC ₅₀
南瓜枯萎 <i>Fusarium oxy sporum</i>	5.0249x + 0.3886	0.9429	8.27
苹果炭疽 <i>Glan erella cingulata</i>	4.3363x + 0.7033	0.9804	9.79
小麦赤霉 <i>Fusarium graminearum</i>	4.9974x + 0.6587	0.9804	7.39
玉米大斑 <i>Exserohilum turcicum</i>	4.5933x + 0.7967	0.9900	8.22

由表2及表3可知, IIc 对4种病原菌的抑制活性较好, EC₅₀ 均低于10 μg/mL, 分别为8.27, 9.79, 7.39和8.22 μg/mL。而Ic仅对苹果炭疽病

菌和小麦赤霉病菌的EC₅₀小于10 μg/mL, 而对南瓜枯萎病菌和玉米大斑病菌的EC₅₀均高于10 μg/mL。相比之下, IIc较Ic的抑制活性高。

[参考文献]

- [1] 安田康 新杀菌剂的靶标和先导化合物的探索[J]. 农药译丛, 1991, 13(3): 22- 26, 38
- [2] Harg G, Hoffmann H. Chemistry of Plant Protection[M]. Berlin: Springer, 1986
- [3] Imperial Chemical Industries Ltd Method of combating fungal infections in plants using imidazoles and 1, 2, 4-Triazoles[P]. 德国专利: 2610022, 1976-09-23
- [4] Thiele K, Fischer J. Imidazolylvinylethers, their preparation and application as active agent in pharmaceutical and biocidal compositions [P]. 欧洲专利: 0008804, 1980-03-19
- [5] Brandes W, Buechel K. 1, 2, 4-Triazolyl-enol ethers, process for preparing them and their use as fungicides[P]. 德国专利: 2931755, 1981-02-19
- [6] Funaki Y. Benzilidene ketone compound, its preparation and fungicide containing the same[P]. 日本专利: 53130661, 1978-11-14
- [7] Kraemer W, Brandes W. Azoalkyl ketone and alcohol fungicides[P]. 德国专利: 3032326, 1982-04-08
- [8] Elbe H L, Luessen K. Azolyl alkenones and oils, process for their use as plant growth regulators and fungicides[P]. 德国专利: 3144670, 1983-05-19

Synthesis and fungicidal activities of new triazole compounds

ZHOU Wen-ming¹, WANG Chang-zhao¹, LI Chang-jie², ZHAO Yong¹

(1 College of Life Sciences, Northwest University, Yangling, Shaanxi 712100, China;

2 The Animal Husbandry of Laiyang County, Laiyang, Shandong 265200, China)

Abstract: Six new compounds were synthesized from 3, 3-dimethyl-1-(1, 2, 4-triazole-1-yl)-butanone, and their biological activities were studied. The structures of all the compounds were confirmed by means of ¹H NMR and IR. The preliminary bioassays results showed that all the new compounds exhibited certain fungicidal activities against *Fusarium oxy sporum*, *Glan erella cingulata*, *Fusarium graminearum* and *Exserohilum turcicum* in 100 μg/mL.

Key words: triazole compounds; organic synthesis; fungicidal activity